

06;08

## Дислокационный ангармонизм в кремнии

© А.А. Скворцов, А.М. Орлов, К.Е. Никитин, О.В. Литвиненко

Ульяновский государственный университет

E-mail: scvor@sv.uven.ru

Поступило в Редакцию 25 апреля 2000 г.

Проведено исследование влияния дислокационного ангармонизма на изменение модуля Юнга при изгибе монокристаллов кремния. Показано, что наблюдаемое изменение обусловлено вкладом дислокаций в модули упругости четвертого порядка. Экспериментально обнаружено, что деформация изгибом как донорного, так и акцепторного кремния способствует появлению преимущественно краевых дислокаций с углом между вектором Бюргерса и осью дислокации  $\theta \sim 90^\circ$ .

Как известно, распространение упругих волн в конденсированной среде несет информацию об их скорости, потерях энергии, дефектной структуре и т.д. По данным измерения скорости и удельной плотности могут быть определены упругие константы среды, которые в свою очередь связаны с межатомными силами [1–3]. Изменение модулей упругости твердых тел может происходить при различных технологических операциях, связанных с появлением дефектов. К примеру, наличие в среде дислокаций приводит к значительным изменениям нелинейных модулей упругости, зависящих от вида и особенностей дислокационной структуры, что неоднократно подтверждалось на примере металлов [3,4]. Однако дислокационный ангармонизм полупроводников практически не рассмотрен, хотя линейные дефекты в них образуются как при росте кристаллов, так и при эксплуатации полупроводниковых приборов и интегральных микросхем. Поэтому целью данной работы явилось изучение взаимосвязи дислокационной структуры с ангармонизмом в кремнии при деформации кристалла.

Опыты проводились на ориентированных в направлении [111] бездислокационных кремниевых пластинах *n*- и *p*-типа проводимости с фиксированным значением удельного сопротивления  $\rho$ . Диапазон исследуемых  $\rho$  лежал в пределах  $10\text{--}0.01 \Omega \cdot \text{cm}$ . Краевые дислокации вводились путем отжига пластин под нагрузкой в направлении [111]

при температуре 1000°C в течение 30 min [5]. Плотность дислокаций составляла  $10^4 - 10^6 \text{ см}^{-2}$  и для каждого объекта была фиксирована.

Влияние дислокационного ангармонизма на изменение модуля Юнга  $E_0$  регистрировалось при изгибе монокристаллов кремния. Для анализа использовались нелинейный закон Гука для твердых тел

$$\sigma = E_0 \varepsilon + \alpha \varepsilon^2 + \beta \varepsilon^3 \quad (1)$$

и вытекающая из него упругая энергия единицы объема кристалла

$$W = \frac{1}{2} E_0 \varepsilon^2 + \frac{1}{3} \alpha \varepsilon^3 + \frac{1}{4} \beta \varepsilon^4. \quad (2)$$

Здесь и далее  $\alpha, \beta$  — линейные комбинации модулей упругости третьего и четвертого порядков соответственно (Па),  $\varepsilon$  — упругая деформация.

Модуль  $\alpha$  в (2) является коэффициентом при нечетной степени упругой деформации, поэтому знакопеременный вклад этого члена в упругую энергию зависит от знака  $\varepsilon$ . Например, в случае прогиба "верхняя" половина пластины испытывает сжатие относительно нейтрального слоя ( $\alpha \varepsilon^3 < 0$ ), а "нижняя" — растяжение ( $\alpha \varepsilon^3 > 0$ ), так что усреднение по сечению дает нуль [6].

В отличие от этого в слагаемом с  $\beta$  любая знакопеременная деформация приводит к одному и тому же изменению  $W$ . При расчете вклада дислокаций в нелинейные модули необходимо учитывать решеточный  $\beta_p$ , дислокационный  $\beta_d$  и концентрационный<sup>1</sup>  $\beta_c$  ангармонизм:

$$\beta = \beta_p + \beta_d + \beta_c, \quad (3)$$

причем, согласно [4], при наличии дислокационной структуры

$$\beta_d = - \frac{(1 + 3\nu - 7\nu \sin^2 \theta) N_d^- L^4 \Omega^4 E_0^4}{160(1 + \nu - 3\nu \sin^2 \theta)^4 b^2 g^3 \mu^3} \quad (4)$$

и  $\beta_p \ll \beta_d$ . Здесь  $\Omega$  — ориентационный фактор;  $\mu$  — модуль сдвига;  $g$  — безразмерный коэффициент, характеризующий размеры упругого поля дислокации;  $N_d, L$  — плотность и длина дислокаций соответственно;  $\nu = 0.27$  — коэффициент Пуассона кремния [3];  $\theta$  — угол между вектором Бюргерса  $b$  и осью дислокации.

<sup>1</sup> Под концентрационным ангармонизмом понимается вклад свободных носителей заряда в нелинейный модуль упругости  $\beta$ .

Для краевой дислокации в кремнии знак модуля  $\beta \approx \beta_d$  положителен, а при преобладании винтовой компоненты — отрицателен. Поэтому измеряя значение  $\beta$  дислокационного образца с малой концентрацией носителей заряда, можно судить о характере линейных дефектов в полупроводнике.

Для экспериментальной проверки знака  $\beta$  нами использовался метод составного вибратора. К торцам пластин приклеивались пьезокерамические датчики с двумя металлизированными гранями, что позволяло возбуждать в пластине нулевые моды волн Лэмба в направлении [110]. Ширина датчиков максимально приближалась к ширине пластины (400–500  $\mu\text{m}$ ). Длина датчиков составляла 6–8 мм.

Изгиб образцов вдоль направления [111] производился на специально изготовленном приспособлении с шаровыми опорами диаметром 0.5 мм. Прогиб пластин фиксировался микрометром с точностью  $\pm 2.5 \mu\text{m}$ . Максимальный прогиб кристалла в центре пластины составлял 800  $\mu\text{m}$  при общей длине пластины 60 мм. При больших деформациях наступало полное разрушение образцов.

Исследуемая пластина включалась в цепь обратной связи ВЧ-резонансного усилителя. Для контроля амплитуды резонансной частоты использовались осциллограф С1-83 и частотомер РЧЗ-07-0002. Измерение деформационной зависимости скорости упругой волны полупроводника проводилось в диапазоне 3–7 МГц. Вначале колебательный контур настраивался на резонансную частоту с последующей 3-минутной выдержкой во включенном состоянии для установления теплового равновесия и уменьшения дрейфа резонансной частоты. Далее снимались показания частотомера при нагрузке и разгрузке кристаллов. Относительное изменение частоты по причине дрейфа параметров внешней среды не превышало  $10^{-5}$ .

Если в подвергающейся трехточечному изгибу полупроводниковой кремниевой пластине длиной  $L_{PL}$  и толщиной  $h_{PL}$  возбудить продольные колебания, то полная деформация будет складываться из колебательной  $\varepsilon_k$  и статической  $\varepsilon_0$  деформаций. Параметры колебаний в этом случае будут характеризоваться динамическим модулем

$$E_d = E_0 \left( 1 + \left( \frac{3\beta}{2E_0} - \frac{\alpha^2}{E_0^2} \right) \frac{h_{PL}^2}{6r_{PL}^2} \right). \quad (5)$$

Здесь радиус кривизны  $r_{PL}^2$  при малом прогибе определяется второй производной от профиля пластины  $y(x)$ . Для используемой схемы

нагружения с фиксируемым расстоянием  $P$  между опорами профиль пластины описывается известной функцией [4]

$$y(x) = d \left( -\frac{4x^3}{p^3} + \frac{6x^2}{p^2} - 1 \right). \quad (6)$$

Здесь  $d$  — стрела прогиба.

Для определения модулей упругости нами использовалась измерительная схема, представляющая собой автогенератор с условием резонанса, определяемым суммарной фазой

$$\varphi = 2\pi f \int_{-L/2}^{L/2} \frac{dx}{\nu(x)} = \frac{2\pi f}{\nu_0} \int_{-L/2}^{L/2} \frac{dx}{\sqrt{\left(1 + \left(\frac{3\beta}{2E_0} - \frac{\alpha^2}{E_0^2}\right) \frac{h_{PL}^2}{6r_{PL}^2}\right)}} = 2\pi N, \quad (7)$$

$$N = 1, 2, 3 \dots$$

Здесь  $\nu = \sqrt{\frac{E}{d_{Si}}}$  — скорость звука в кристалле,  $d_{Si}$  — плотность кремния.

Интегрирование этого уравнения с учетом (5) и (6) позволяет получить выражение для относительного изменения частоты генерации  $\Delta f = f - f_0$  ультразвуковых сигналов колебательной системы с деформируемой пластиной:

$$\frac{\Delta f}{f} \approx \frac{df}{f} = 4 \frac{h_{PL}^2}{p^3 L_{PL}} (\Delta d)^2 \left( \frac{3\beta}{2E_0} - \frac{\alpha^2}{E_0^2} \right). \quad (8)$$

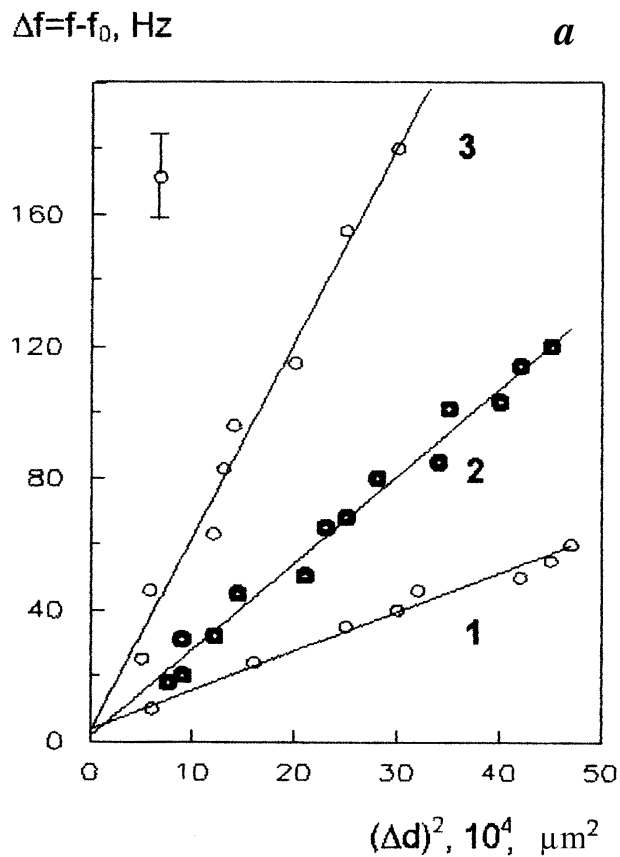
Здесь  $f_0, d_0$  — частота автогенерации и стрела прогиба при отсутствии деформации;  $f, d$  — то же самое при деформации изгибом;  $\Delta d = d - d_0$ .

Для удобства последующего анализа представим (8) с учетом (3) в виде соответствующих уравнений:

$$\left\{ \frac{\Delta f}{(\Delta d)^2} \right\}_S = 4 \left( \frac{h_{PL}^2}{p_{PL}^3 L_{PL}} \right)_S f_S \left[ \frac{3\beta_S}{2E_0} \right], \quad (9)$$

$$\left\{ \frac{\Delta f}{(\Delta d)^2} \right\}_d = 4 \left( \frac{h_{PL}^2}{p_{PL}^3 L_{PL}} \right)_d f_d \left[ \frac{3\beta_d}{2E_0} \right] \quad (10)$$

для бездислокационного (подстрочный индекс "S") и дислокационного ("d") кремния, в которых учтено отсутствие слагаемого с  $\alpha$  при изгибе образцов.

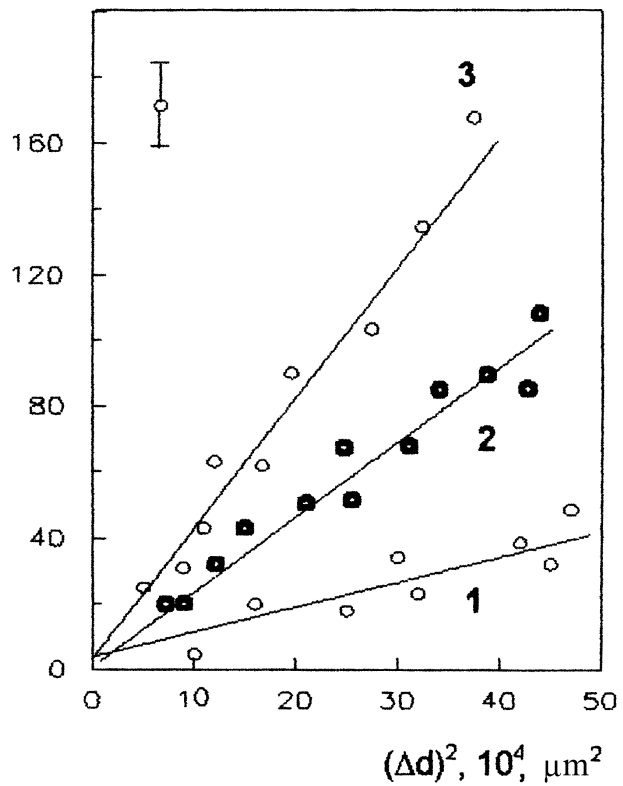


Влияние стрелы прогиба  $d$  на изменение частоты колебаний: *a* — легированных фосфором образцов ( $\rho = 10 \Omega \cdot \text{cm}$ ) с различной плотностью дислокаций: 1 —  $8 \cdot 10^4 \text{ cm}^{-2}$ ; 2 —  $7 \cdot 10^5 \text{ cm}^{-2}$ ; 3 —  $2 \cdot 10^6 \text{ cm}^{-2}$ ; *b* — легированных бором образцов ( $\rho = 20 \Omega \cdot \text{cm}$ ) с различной плотностью дислокаций: 1 —  $1 \cdot 10^5 \text{ cm}^{-2}$ ; 2 —  $5 \cdot 10^5 \text{ cm}^{-2}$ ; 3 —  $1 \cdot 10^6 \text{ cm}^{-2}$

Нетрудно видеть, что правые части уравнений (9) и (10) определяют тангенс угла наклона экспериментальных кривых, построенных в координатах  $\Delta f \sim (\Delta d)^2$ , а их разность дает величину дислокационного

$\Delta f = f - f_0$ , Hz

*b*



(Продолжение рисунка).

вклада в измеряемый модуль:

$$\Delta\beta = \beta_d - \beta_s$$

$$= \frac{E_0}{6f_d} \left( \frac{p_{PL}^3 L_{PL}}{h_{PL}^2} \right)_d \left( \frac{\Delta f}{\Delta d^2} \right)_d - \frac{E_0}{6f_s} \left( \frac{p_{PL}^3 L_{PL}}{h_{PL}^2} \right)_s \left( \frac{\Delta f}{\Delta d^2} \right)_s. \quad (12)$$

Дислокационный вклад в соответствующий модуль может быть получен сравнением  $\Delta\beta$  образцов с различной плотностью дислокаций  $N_d$ . При этом исключаются эффекты, связанные с вкладом свободных носителей в нелинейный модуль  $\beta$ .

Типичные результаты этих исследований представлены на рисунке. Они свидетельствуют о том, что для дислокационной структуры  $n$ - и  $p$ -кремния  $\beta > 0$ . Следовательно, краевой характер изучаемых дислокаций является определяющим.

Таким образом, установлено что, используемые режимы деформации как донорного, так и акцепторного кремния способствуют появлению преимущественно краевых дислокаций с углом между вектором Бюргера и осью дислокаций  $\theta \sim 90^\circ$ .

Работа выполнена при финансовой поддержке Минвуза "Деградационные процессы в многослойных тонкопленочных структурах" и гранта РФФИ № 98-02-03335.

## Список литературы

- [1] Судзуки Т., Есинага Х., Такеути С. Динамика дислокаций и пластичность. М.: Мир, 1989. 296 с.
- [2] Фридель Ж. Дислокации. М.: Мир, 1967. 626 с.
- [3] Физическая акустика / Под ред. У. Мэсона. 1969. Т. 4. Ч. А. 344 с.
- [4] Никитин К.Е. // ФТТ. 1994. № 12. С. 3587–3595.
- [5] Орлов А.М., Скворцов А.А., Фролов В.А. // Письма в ЖТФ. 1999. Т. 25. В. 3. С. 28–32.
- [6] Ландау Л.Д., Лифшиц Е.М. Теория упругости. М.: Физматлит, 1965. 204 с.